

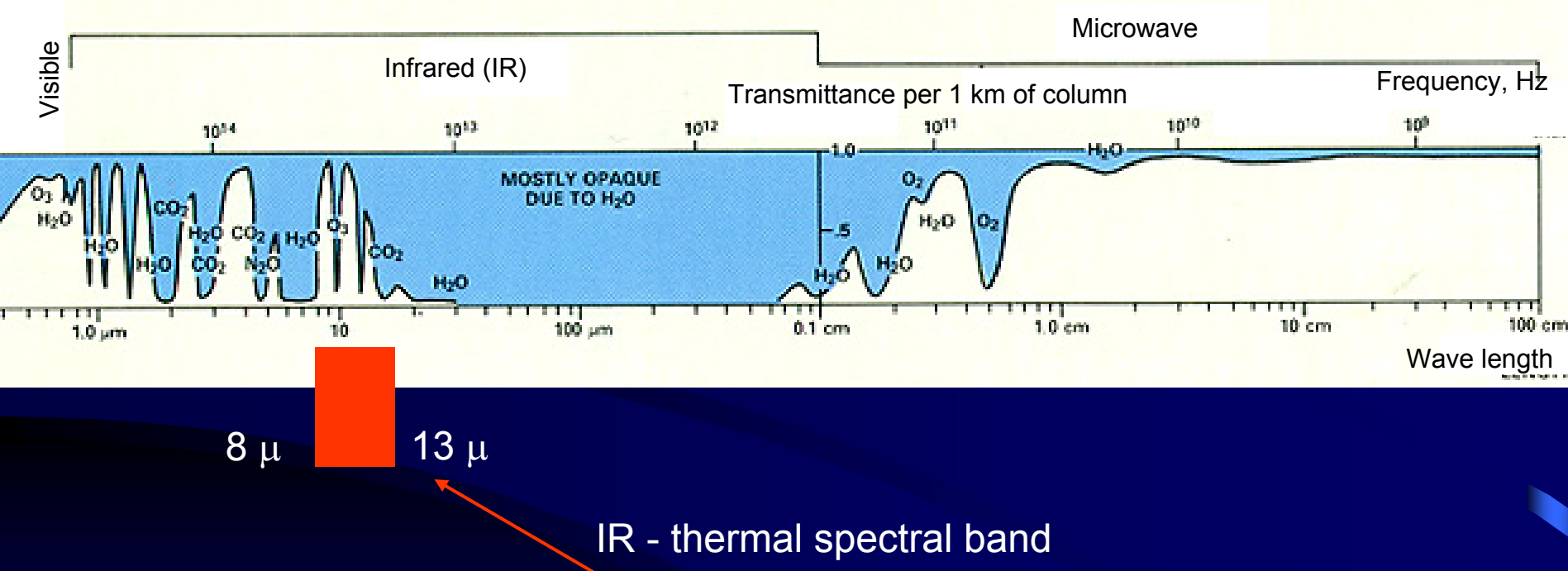
САНКТ-ПЕТЕРБУРГСКИЙ
НАУЧНО-ИССЛЕДОВАТЕЛЬСКИЙ ЦЕНТР ЭКОЛОГИЧЕСКОЙ БЕЗОПАСНОСТИ
РОССИЙСКАЯ АКАДЕМИЯ НАУК

Космические измерительные методы
инфракрасного теплового диапазона при мониторинге
потенциально опасных явлений и объектов

*Горный Виктор Иванович
Тронин Андрей Аркадьевич*

E-mail: img@at1895.spb.edu

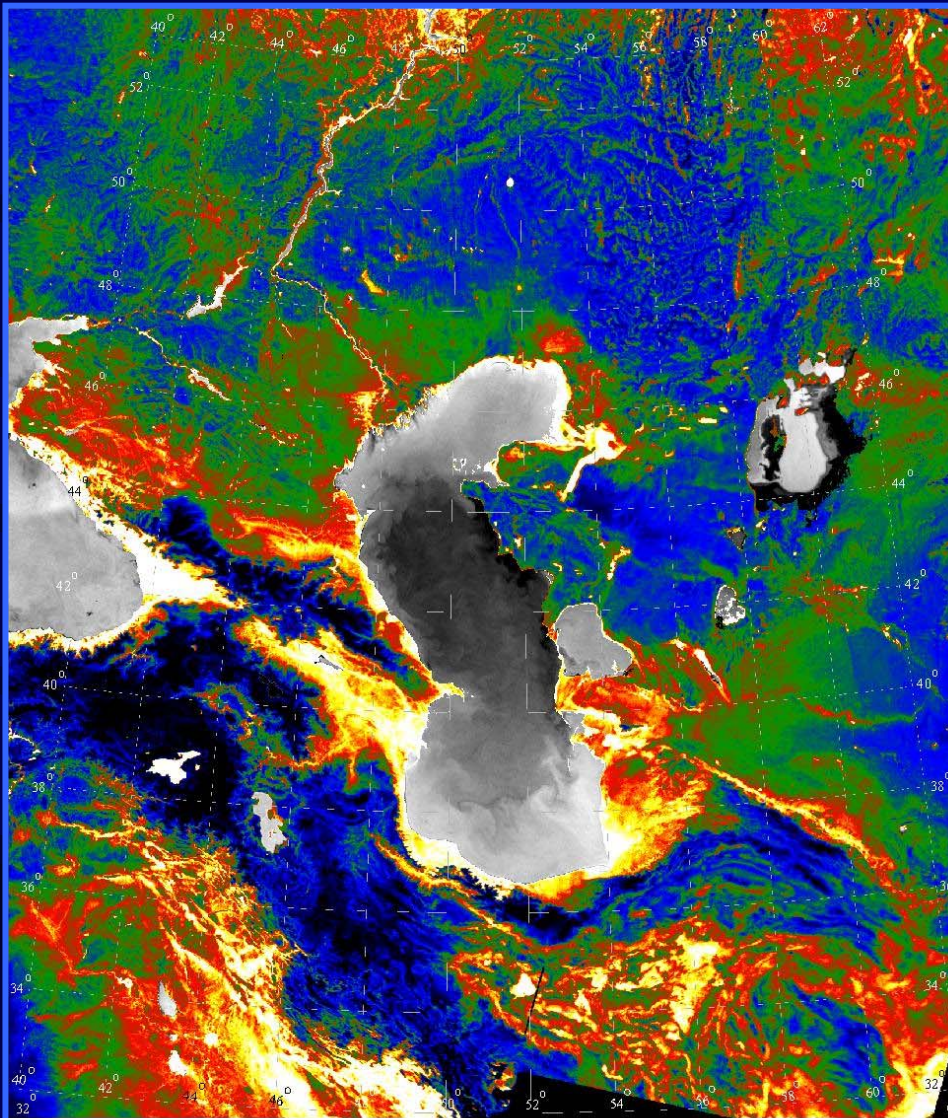
Atmosphere transmittance of EM waves



Methods are using IR-Thermal spectral band

Surface temperature analysis

Map of night time surface temperature contrasts Caspian Sea Region



Scale: 1:2 500 000

Масштаб 1:2 500 000

0 200 км

УСЛОВНЫЕ ОБОЗНАЧЕНИЯ:

Температурный контраст на акватории



Температурный контраст на суше



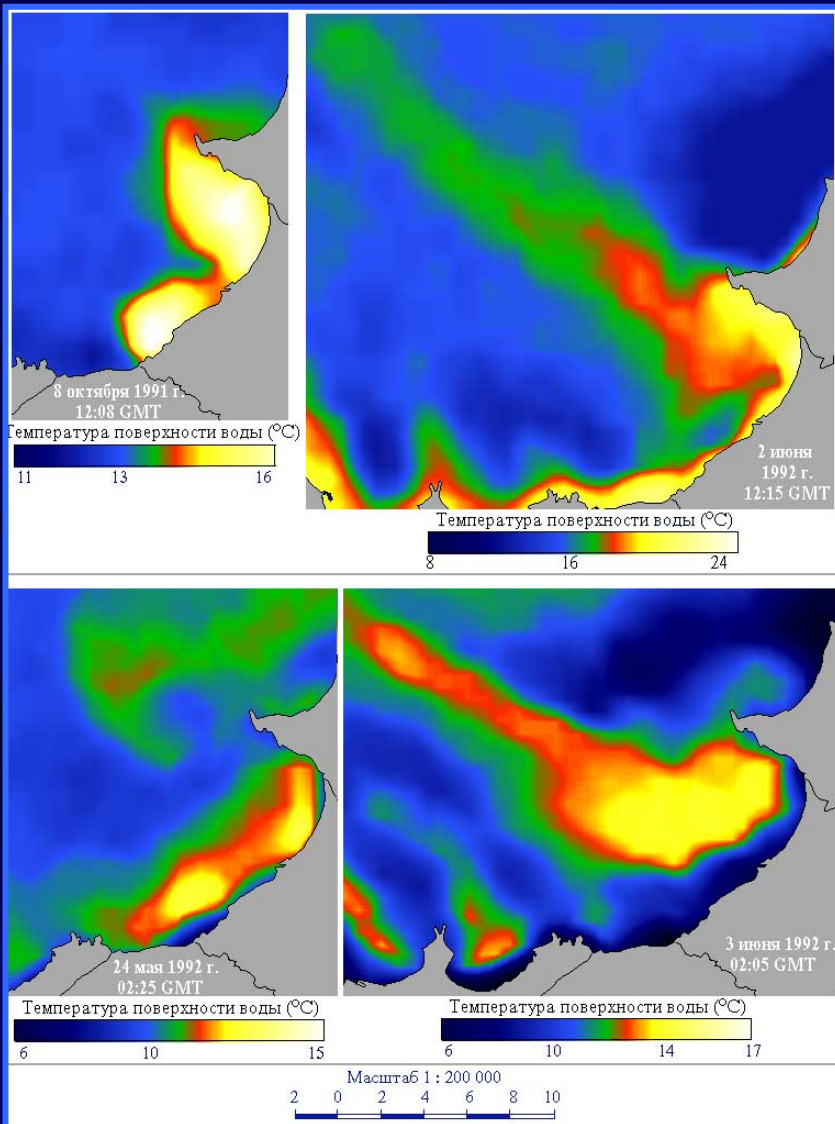
Температурные контрасты на акватории Каспия получены путем накопления температур, полученных в различные сутки

Scheme of nuclear power plants of the Baltic Sea rim



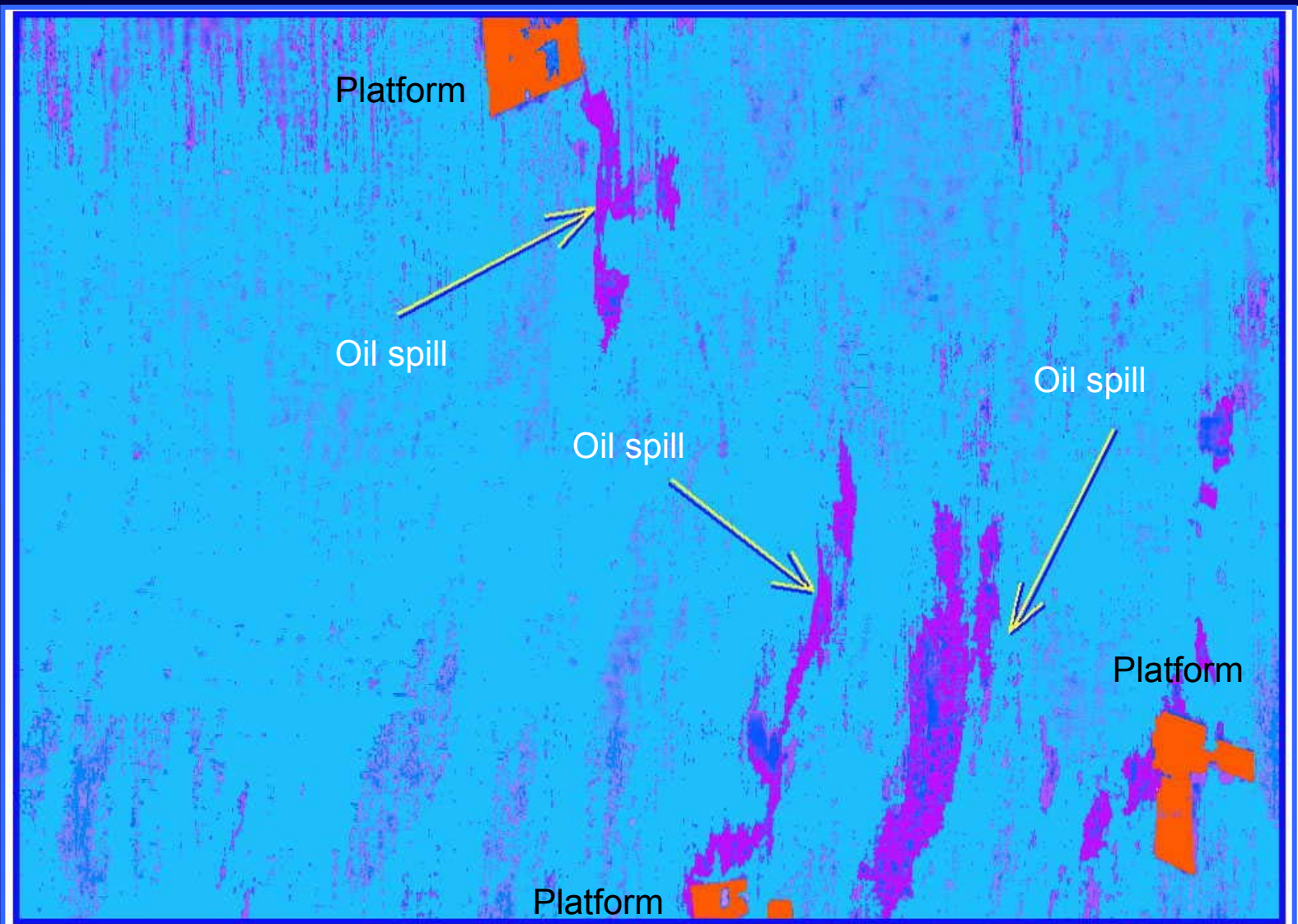
Russia

Temperature of the heated water discharge from Leningrad NPP



Oil spills mapping by IR-thermal airborne survey

Caspian Sea, Baku offshore oilfield



Remote Geothermal Method (RGM)

- the thermal inertia approach

Heat budget of a surface

Heat Balance

Тепловой баланс

$$q_{sw} + q_{lw} + q_l + q_s + q_{an} + q_d + \textcolor{red}{q}_g = 0$$

q_{sw} - short wave solar radiation, W/m^2 ;
 q_{sw} - коротковолновая радиация, Вт/м^2 ;

q_{lw} - long wave radiation, W/m^2 ;
- длинноволновая радиация, Вт/м^2 ;

q_l - latent heat flux, W/m^2 ;
- затраты тепла на турбулентный теплообмен почвы с атмосферой, Вт/м^2 ;

q_s - sensible heat flux, W/m^2 ;
- затраты тепла на испарение, Вт/м^2 ;

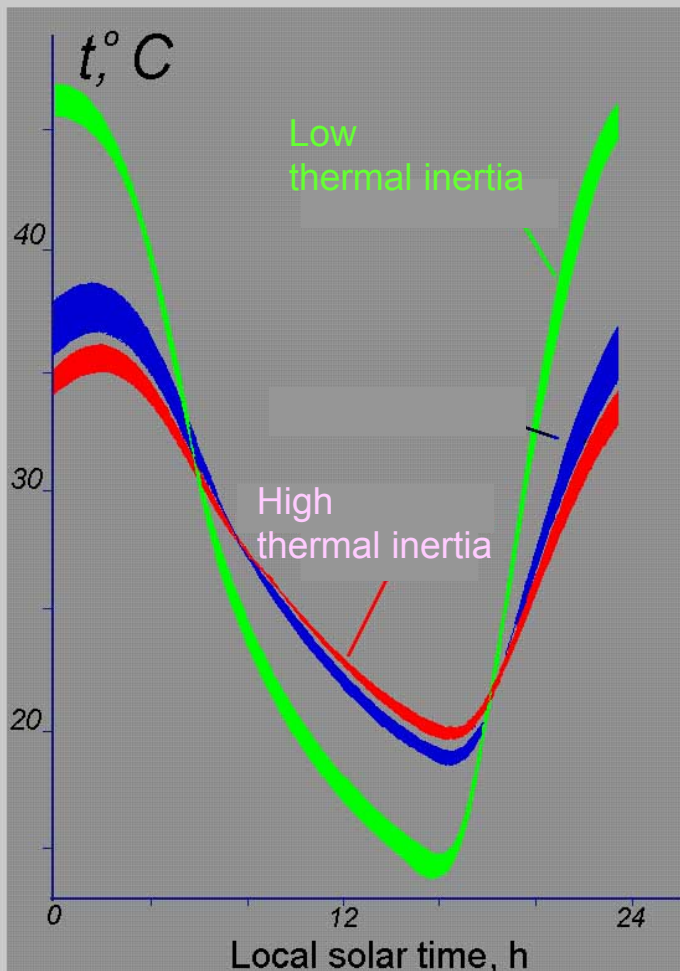
q_{an} - heat flow in the soil induced by annual thermal rhythms, W/m^2 ;
- тепловой поток в почве, вызванный годовыми тепловыми ритмами, Вт/м^2 ;

q_d - heat flow in the soil induced by diurnal thermal rhythms, W/m^2 ;
- тепловой поток в почве, вызванный суточными тепловыми ритмами, Вт/м^2 ;

q_g - stable geothermal heat flow from the interior part of the Earth's crust, W/m^2 ;
- стационарный тепловой поток из внутренних областей земной коры, Вт/м^2 ;

Daily surface temperature variations

Simulated daily surface temperature variations



Surface heat flow

$$q = A_o + \sum_{i=1}^{\infty} [A_i \cos(i\omega_i \tau + \varphi_i) + B_i \sin(i\omega_i \tau + \varphi_i)]$$

Simplification

$$q = q_o \sin(\omega \tau)$$

Where: q - heat flow, W/m^2 ;

q_o - amplitude of heat flow, W/m^2 ;

ω - angle velocity, s^{-1} ;

τ - time, s;

$$\vartheta(\tau, h) = [q_o / p(\omega)^{1/2}] \sin(\omega \tau - \pi/4),$$

Where: $\vartheta(\tau, h)$ - amplitude of surface temperature;

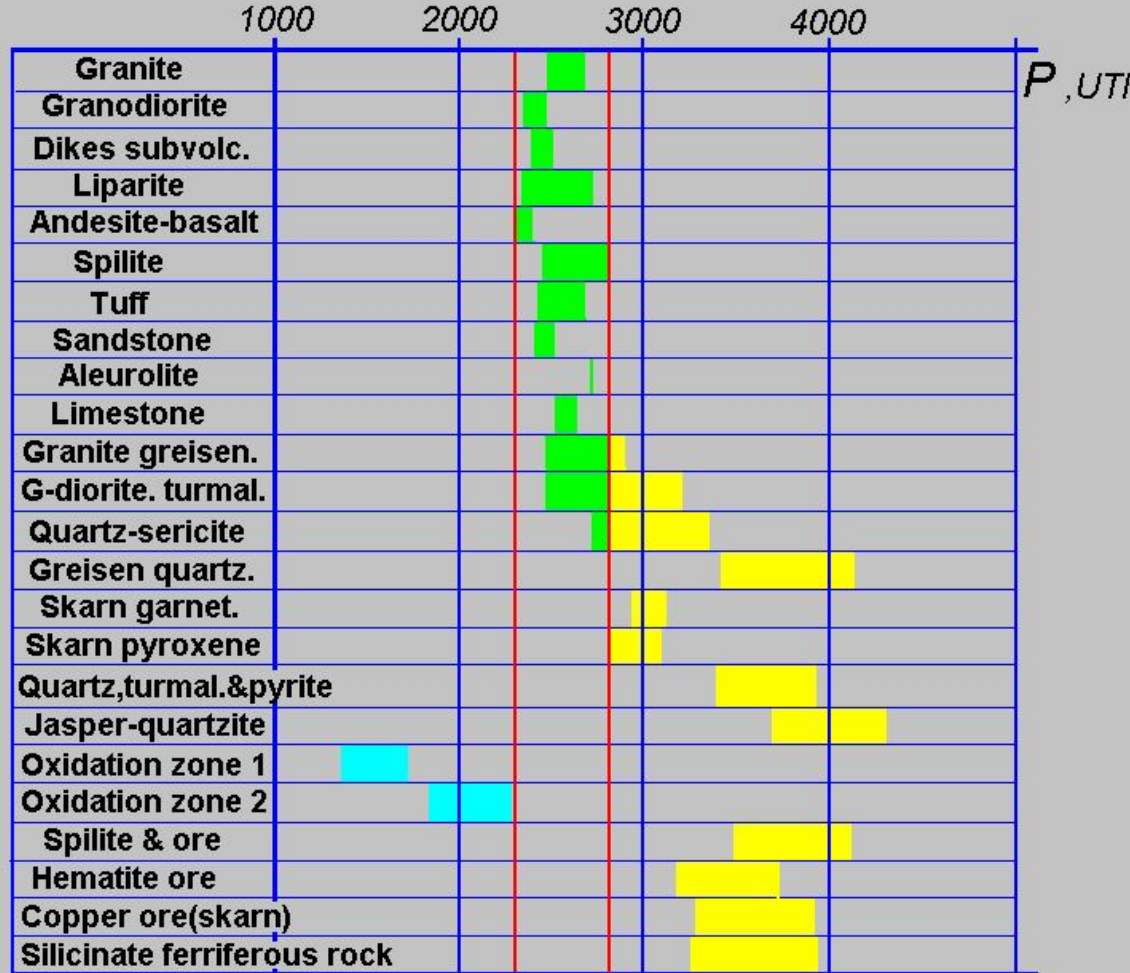
$$p = (\lambda c \rho)^{1/2} - \text{thermal inertia, UTI};$$

λ - thermal conductivity, $W/(m \cdot K)$;

c - thermal capacity, $J/(kg \cdot K)$;

ρ - density, kg/m^3 .

Thermal inertia of rocks



- altered rocks.

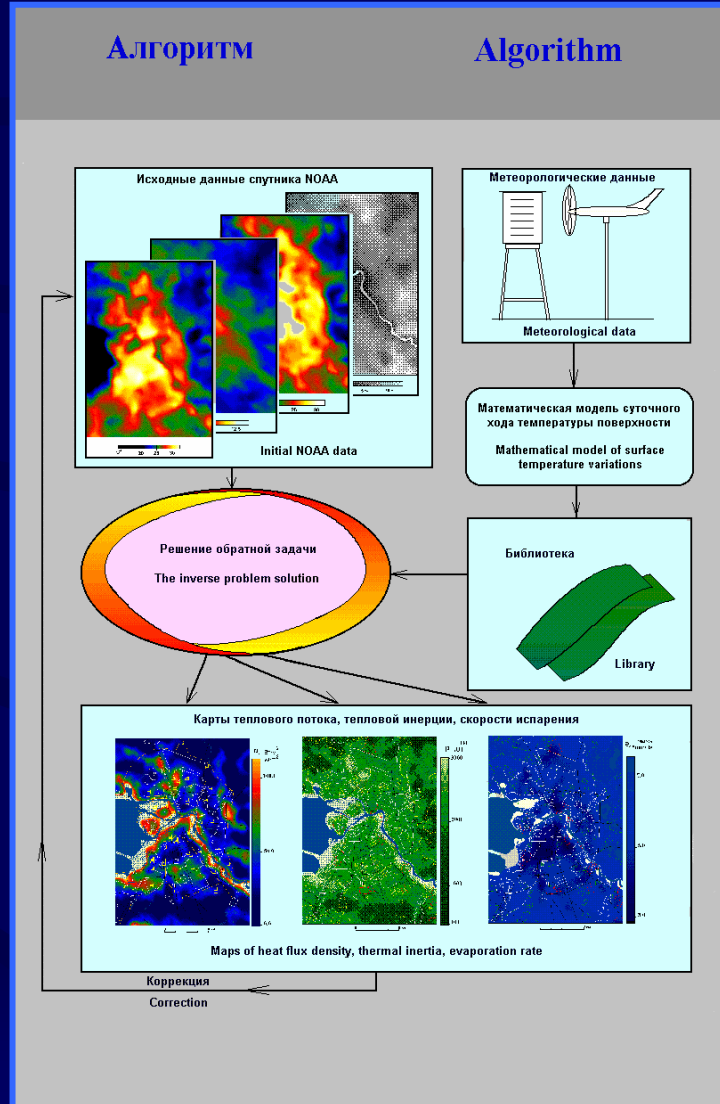
Algorithm of remote determination of the heat flow, the thermal inertia, and the evaporation rate

Initial data:

- * multitime IR-thermal airborne or satellite flown survey;
- * round o'clock ground meteorological observations;

Resulting maps:

- * the heat flow, W/m^2 ;
- * the thermal inertia, UTI ;
- * evaporation rate, mm/day .

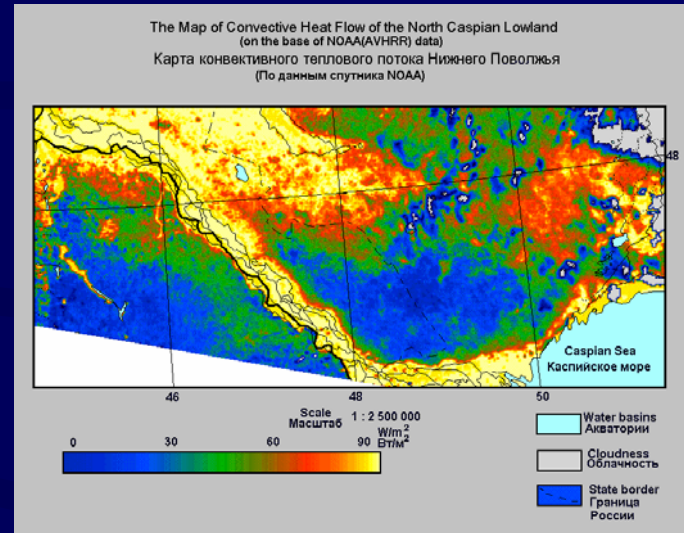
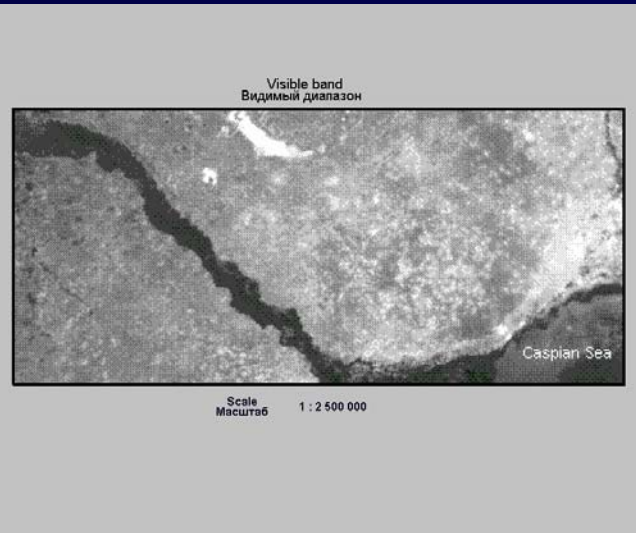


Results of RGM application

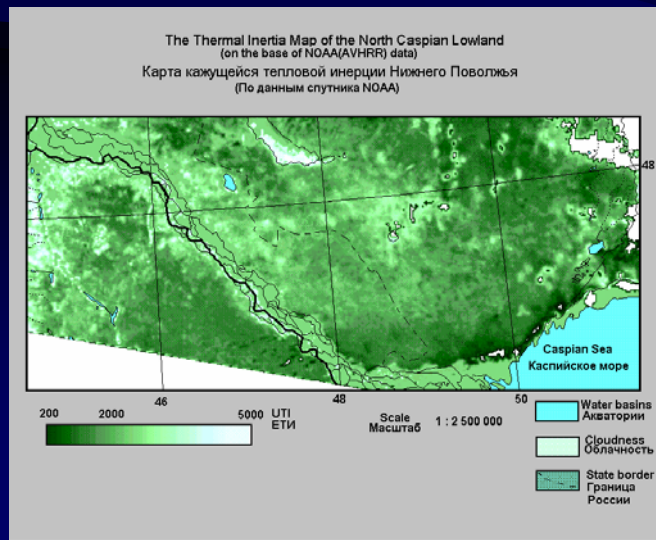
North Caspian Lowland (NOAA(AVHRR) data)

Visible band

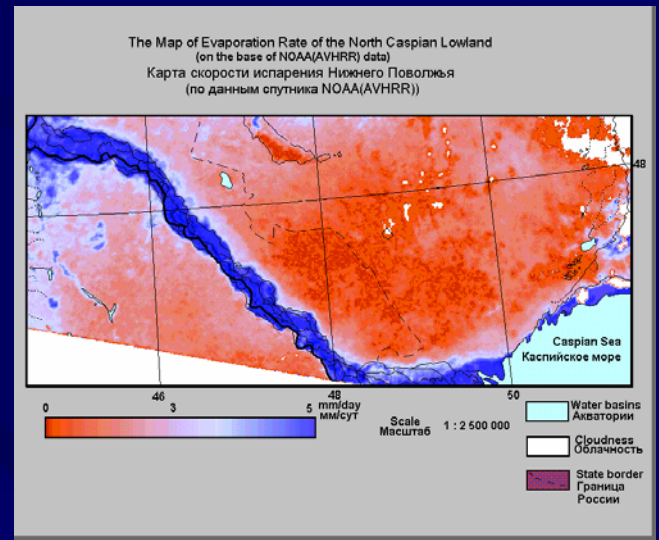
Heat flow



Thermal inertia



Evaporation rate

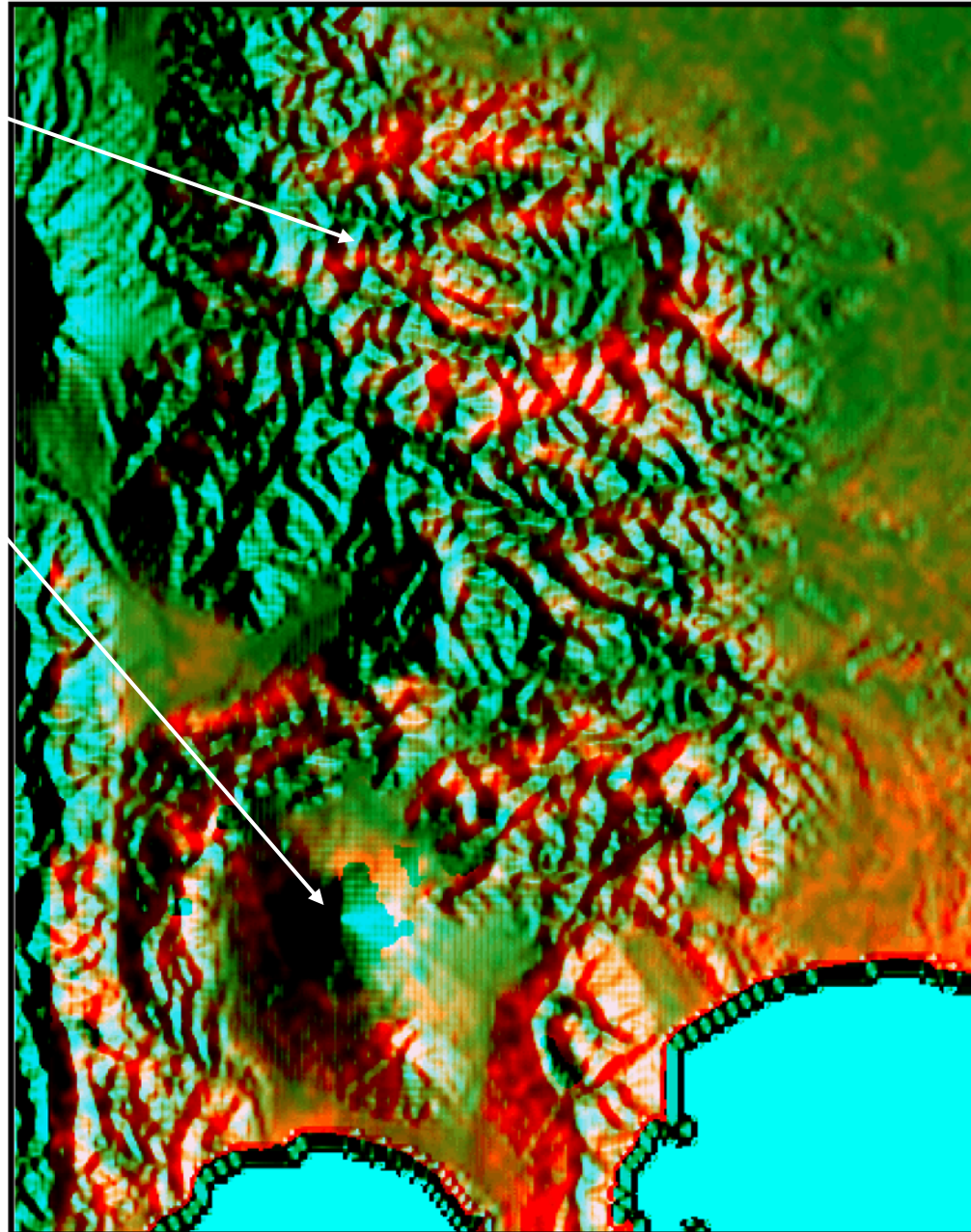


Kanto region in Japan

Old
volcano

Fuji modern
volcano

Surface relief

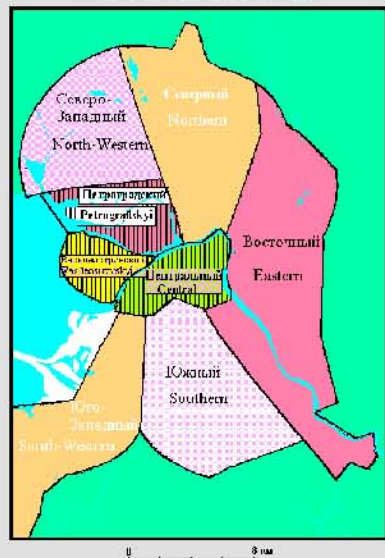


Convective heat flow

Saint Petersburg heat loss

Ст.Петербург

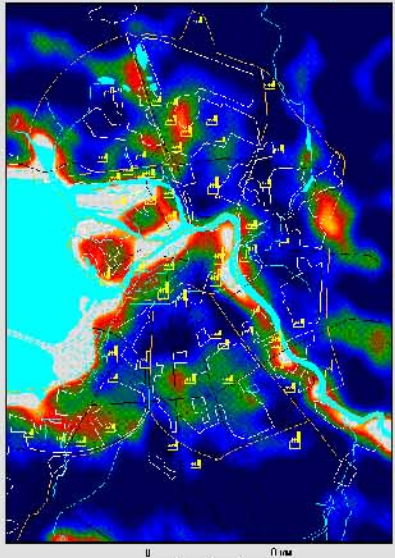
Карта районов теплоснабжения
 The Map of Heating Districts



Группа центральных районов
 The group of central districts

Область отсутствия решения
 Zone of unstable solution

Карта плотности теплового потока
 The Map of Heat Flux Density



Дороги
 Roads

Акватории
 Water surface

Границы районов теплоснабжения
 Boundaries of heating districts

Лесопарки
 Parks and forests

а) Теплоцентрали, б) котельные
 a) Heating stations b) - regional, b) district

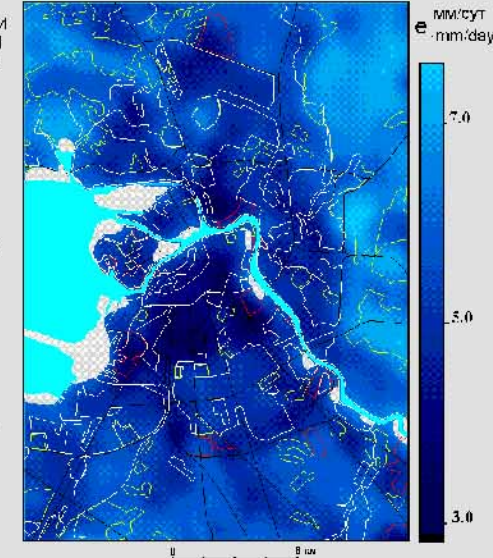
St.Petersburg

Карта тепловой инерции
 The Map of Thermal Inertia



р, ETI
 3000
 2000
 1000
 400

Карта скорости испарения
 The Map of Evaporation Rate



e, MM'сут
 7.0
 5.0
 3.0

Промышленные зоны
 Industrial zones

Жилые массивы
 Urban areas

Лесопарки
 Parks and forests

а) Теплоцентрали, б) котельные
 a) Heating stations b) - regional, b) district